

稀土金属在钢铁中的应用

(譯文集)

金心 韓育良 成詩仪 等 譯校

这本譯文集系根據蘇、美、英、法及德意志民主共和国的期刊杂志中有关的文章編譯而成，共包括37篇譯文。

內容涉及稀土金属在脱硫、除气（氮、氢、氯等）中的作用，在結構鋼、不銹鋼、耐熱鋼、鉻鋼，鑄鐵（包括球墨鑄鐵）中的應用；还有一些文章介紹稀土合金及利用放射性同位素示踪原子研究稀土元素對鋼的性能的影響等。

本文集供冶金厂試驗室、科研部門有關的工程技術人員閱讀。

稀土金屬在鋼鐵中的應用

(譯文集)

金 心 韓育良 成詩儀 等 譯校

*

冶金工业部科学技术情报产品标准研究所书刊编辑室編輯 (北京万年桥71号)

中国工业出版社出版 (北京万年桥71号)

北京市新华书店总发行处 (北京万年桥71号)

中国工业出版社第三印刷厂印刷

新华书店北京发行所发行，各地新华书店經售

*

印本 850×1168 1/2 · 印張 132/4 · 字數 309,000

1985年6月北京第一版 · 1985年6月北京第一次印刷

印数0001—2,430 · 定价 (科六) 1.80元

*

统一书号：15165·3844 (冶金-605)

目 录

1. 稀土元素(镧、铈、镨、钕)的脱氧能力.....	1
2. 稀土元素对氢在铁水中溶解度的影响.....	8
3. 稀土元素对铁水表面张力的影响.....	21
4. 用镧、铈、镨和钕使钢脱氧的热力学.....	29
5. 用稀土脱硫.....	37
6. 镧和铈在钢铁纯化中的作用.....	41
7. 稀土元素在合金结构钢和不锈钢冶炼中的应用.....	109
8. 经稀土处理的结构钢和不锈钢的化学不均匀性.....	118
9. 稀土元素对合金结构钢白点敏感性的影响.....	123
10. 稀土金属在结构钢中的应用.....	127
11. 含镧结构钢的回火脆性.....	135
12. 加稀土金属的合金结构钢的机械性能及其非金属 夹杂物的性质.....	142
13. 加稀土金属和硼的35ГП钢的性能.....	151
14. 用铈处理铬镍钢水对它的结晶特征的影响.....	155
15. 稀土金属对铬镍钢性能的影响.....	164
16. 用稀土消除不锈钢的热轧缺陷.....	174
17. 稀土金属对1X18H9T不锈钢性能的影响.....	189
18. 稀土金属对不锈钢性能的影响.....	195
19. 铈对铬镍不锈钢性能的影响.....	203
20. 含稀土氧化物的X18H12M2T不锈钢的性能.....	226
21. 稀土金属及其氧化物对一些不锈钢性能的影响	233
22. 铈对15X1M1Ф1钢的机械性能的影响	239
23. 含稀土的X1177TiO合金的细致组织	250
24. 稀土元素对镍基热强合金性能的影响	258
25. 少量铈对Cr-Mo-V热强钢的纯化作用	268

IV

26. 鑄鋼中各種脫氧劑的作用.....	276
27. 少量稀土金屬對鑄鋼的組織與性能的影響.....	300
28. 用稀土金屬處理鋼水的經驗.....	307
29. 鈮對45#鋼結晶和性能的影響.....	317
30. 鈮對15X1M1Φ#鋼機械與工藝性能的影響.....	323
31. 鑄鋼中的稀土金屬和其他脫氧劑——對低溫衝擊 性能的影響——.....	330
32. 利用鈮對不銹鋼、結構鋼和鑄鐵進行變性處理.....	348
33. 鈮在純鈮和鑄鐵中的擴散與顯微分布.....	356
34. 鈮在鑄鐵球化過程中的應用.....	364
35. 經稀有金屬球化處理的鑄鐵的一次結晶和組織 特性.....	370
36. 稀土金屬合金.....	376
37. 利用放射性示蹤原子研究稀土加入劑對鋼的性能 的影響.....	387

1. 稀土元素（鑭、鈮、鑪、釔） 的脫氧能力

（苏）Г.Кинне、А.Ф.Вишкарев、
В.И.Явойский

热力学計算表明，鑭、鈮、鑪和釔是比鋯和鋸更强的脱氧剂，在一定条件下它們的脱氧能力与鋯及鋐的脱氧能力相近。

本文介绍了稀土元素脱氧能力的测定方法。在第一批試驗中采用了在文献中多次叙述的，在蒸汽-氢的气氛中研究鐵-氢-稀土元素的平衡的方法。熔炼分別在不同耐火材料 (Al_2O_3 、 ZrO_2 、 MgO 及 BeO) 制成的坩埚中进行。为了获得熔炼所需的低氧化势 ($P_{\text{H}_2\text{O}}/P_{\text{H}_2} \approx 10^{-5}$)，在溫度为 0°C 左右时，通氢于 LiCl 的饱和溶液上，然后以氢来冲淡此气体混合物①。熔炼采用了高純度的还原鐵 (99.99% Fe)。当金属达到規定溫度后，在氢的气氛中静置 30 分钟，然后在不破坏系統密封的情况下，加入稀土元素，并用可控制的氧化势的气氛（采用蒸汽-氢气平衡法时）或用氩的中性气氛（采用間接方法試驗时）来代替还原性气氛。

試样中的稀土元素含量用光譜法及光譜化学法測定；氧含量用分馏分析法測定。电解分离出的脱氧产物用 X-光射綫照相和金相磨片进行了研究②。

为了确定氧在液态鐵中的活度和硅的脱氧能力，預先进行了熔炼試驗。获得的結果与文献的資料吻合。因此，可以証实試驗裝置的工作是可靠的。对测定鈮与鑭在蒸汽-氢的气氛中脱氧能

① 这样， $P_{\text{H}_2\text{O}}/P_{\text{H}_2}$ 值可达 10^{-5} ，甚至 10^{-6} 。

② 此句原文为“用金相磨片对电解分离和 X-光射綫照相分离出的产物进行了研究。”——譯者注

力的結果的整理表明，上述元素在液态鉄中与氧相互作用的平衡常数与溫度的关系可用下列方程式表示：

$$K'_P = [a_{Co}]^2[a_0]^3, \quad \lg K'_P = -\frac{56300}{T} + 11.09; \quad (1)$$

$$K'_P = [a_{Ce}]^2[a_0]^2, \quad \lg K'_P = -\frac{56200}{T} + 17.82. \quad (2)$$

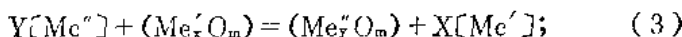
(假設在熔体中生成 La_2O_3 及 CeO_2)，这仅仅是初步的数据，因为試驗点很分散。由于金属和坩埚材料的相互作用，所以要根据熔体表面氧化膜的出現来确定金属与气体达到平衡的时间是困难的。此外，在蒸汽-氢的气氛中要达到平衡也是困难的，因为金属中的稀土元素含量在熔炼过程中迅速減少，并且与其加入量的大小无关，甚至达到金属重量的 5% 时也是如此。

稀土元素在金属中的迅速減少可能与这些元素或其氧化物的蒸发，或与稀土元素还原耐火材料有关。化学分析与 X-射綫結構分析結果表明，在加镧与铈的钢的升华物中沒有发现这些元素数量的增加，这与稀土元素在液态鉄中蒸汽压的热力学計算結果相符。

然后，用宏观及化学、光譜和 X-射綫結構分析法 研究了熔炼后的耐火坩埚。确定 SiO_2 、 Al_2O_3 、 ZrO_2 及 BeO 制成的 坩埚也被还原。X-射綫結構分析发现，坩埚与金属接触的表层富集了稀土元素的氧化物及其化合物，如 La_2O_3 、 $BeLaO_4$ 、 $LaAlO_3$ 、 Nd_2O_3 、 CeO_2 及 Ce_2O_3 (根据加入金属中的稀土元素及使用的坩埚材料而定)。平衡計算表明，消耗于还原坩埚耐火材料的稀土元素加入量与从坩埚材料中还原的元素量之間有直線关系。

对稀土元素与各种氧化物的相互作用进行了研究后，可以得出如下結論：稀土元素具有能很容易使 Al_2O_3 、 ZrO_2 及 BeO 型氧化物还原的那样大的与氧的亲和力。图 1-1 示出在 Al_2O_3 坩埚中及氩气氣下进行熔炼的典型測定結果。专门的熔炼表明，当稀土元素还原各种氧化物时，經過一定的时间 (根据坩埚材料不同此时间波动在 15—25 分钟的范围内)， 金属与坩埚之間达到平

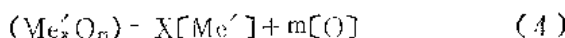
衡。由此，建議用間接法研究化学活性元素（包括稀土元素在內）对增堿耐火材料的脫氧能力。这种方法是在确定下面的平衡常数的基础上获得的：



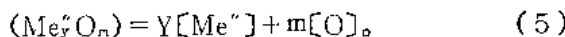
其中 Me'' ——有关的稀土元素；

$Me'_x O_m$ ——組成增堿材料的氧化物。

綜合反应的結果从下式



可以决定下式的平衡常数



无论在蒸汽-氢气中計算，或用間接法計算稀土元素的脫氧能力时，必須准确地知道脫氧产物的組成。电解析出的沉淀物基本上由稀土氧化物所組成。各种稀土氧化物的沉淀物具有典型的不同的顏色

（加鑭——雪白色，加鈽——灰白色，加釔——淡紫色，加鋯——綠色）。

根据文献資料，这些顏色分別为 La_2O_3 、 CeO_2 （或 Ce_2O_3 ）、 Nd_2O_3 及 Pr_2O_3 的特征。在所进行的分析的基础上可以說，鑭、釔和鋯在液态鐵中氧化时組成 La_2O_3 、 Nd_2O_3 及 Pr_2O_3 的化合物。可以推論，金属中加鈽时形成的氧化物的化学成份取决于熔炼的条件。当金属中含有过量的氧或金属与較不稳定的氧化物 (SiO_2 、 Al_2O_3 、 ZrO_2) 相接触时，会优先形成 CeO_2 夹杂物。如果金属中氧的浓度很低或金属与由热稳定的氧化物 (BeO 型) 组成的耐火材料相接触时，可以推測会形成 Ce_2O_3 。这种推測証实了在各种增堿中熔炼时稀土元素是处于平衡状态的。

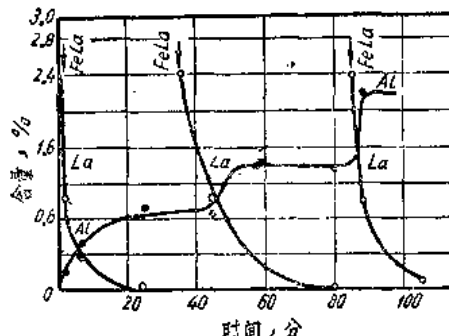


图 1-1 熔炼的测定

在顯微鏡下觀察時，鈰的氧化物在暗視場中呈鮮寶石紅色，鑭的氧化物呈黃-玫瑰紅色，釔的氧化物呈灰-黃-綠色，鏽的氧化物呈黃-綠色。

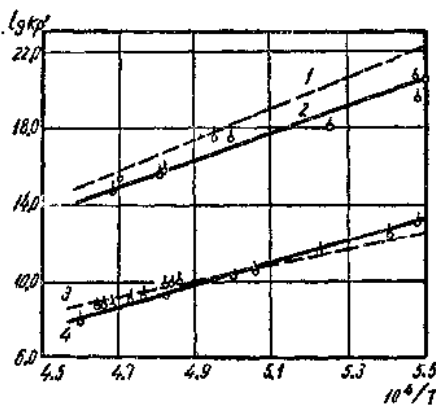


图 1-2 用镧、铈脱氧的平衡常数与温度的关系

$$1 - \lg K_{La} = -\frac{77300}{T} + 20.79 \text{ 計算值;}$$

$$2 - \lg K'_{La} = -\frac{62050}{T} + 14.10 \text{ 試驗值;}$$

$$3 - \lg K_{Ce} = -\frac{45500}{T} + 12.60 \text{ 計算值;}$$

$$4 - \lg K'_{Ce} = -\frac{53750}{T} + 16.70 \text{ 試驗值}$$

當用間接法測定稀土元素的氧化能力時，熔煉在用 Al_2O_3 制成的坩堝中進行，在液態鐵中生成 Al_2O_3 的熱力學函數可從文獻中查出。镧和铈的脫氧化能力的測定結果示於圖 1-2。若氧化產物為純固相，則在計算中鋁及稀土的氧化物的活度系數便能採用相同的單位。镧與铈氧化過程的平衡常數與溫度的關係用下列方程式表示：

$$K'_p = [a_{La}]^2 \times [a_O]^3; \quad \lg K'_{La} = -\frac{62050}{T} + 14.10; \quad (6)$$

$$K'_p = [a_{Ce}] \times [a_O]^2; \quad \lg K'_{Ce} = -\frac{53750}{T} + 16.70; \quad (7)$$

$$K'_p = [a_{ce}]^2 \times [a_0]^3; \lg K'_{ce} = -\frac{76000}{T} + 21.00. \quad (8)$$

为了评价钛和锆的脱氧能力，只进行了几炉熔炼。因此，面临的问题是评价这些元素的脱氧能力和确定这些元素在脱氧时的行为和镧、铈有多大的相似。当整理试验数据时（图1-3、1-4），获得的锆与钛脱氧过程平衡常数与温度的关系如下：

$$K'_p = [a_{Nd}]^2 \times [a_0]^3; \lg K'_{Nd} = -\frac{61000}{T} + 13.43; \quad (9)$$

$$K'_p = [a_{Pr}]^2 \times [a_0]^3; \lg K'_{Pr} = -\frac{64500}{T} + 14.96. \quad (10)$$

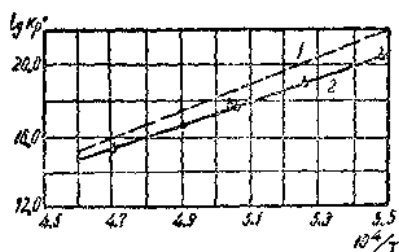


图 1-3 用铈脱氧的平衡常数与温度的关系

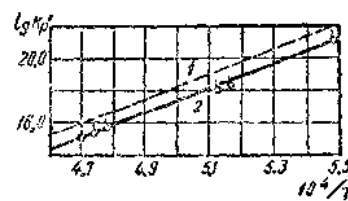


图 1-4 用钛脱氧的平衡常数与温度的关系

$$1-\lg K'_{Pr} = -\frac{73000}{T} + 21.50 \text{ 計算值};$$

$$2-\lg K'_{Pr} = -\frac{64500}{T} + 14.96 \text{ 試驗值}$$

$$1-\lg K'_{Nd} = -\frac{76000}{T} + 21.00 \text{ 計算值};$$

$$2-\lg K'_{Nd} = -\frac{61000}{T} + 13.43 \text{ 試驗值}$$

在试验数据的基础上曾试图估計与一定浓度的稀土元素相平衡的氧含量的百分数。这样用铈脱氧的反应平衡常数可用下列方程式表示：

$$K'_p = [\% La]^2 (f_{La}^0)^2 [\% O]^3 (f_O^{La})^3. \quad (11)$$

f_O^0 量可以采取相等的单位，而 $f_{La}^0 \sim f_O^{La}$ ，因为根据试验条件溶于液态铁中的镧、铈和氧成三元平衡存在。 f_O^{La} 值采用文献中

的数据。由 1600°C 时氧含量与镧含量的关系可看出，氧的平衡浓度，甚至在镧含量很低时，也是很低的：

[%La]	10^{-6}	10^{-5}	5×10^{-5}
[%O]	4×10^{-3}	8.78×10^{-4}	4.60×10^{-4}
[%La]	10^{-4}	2×10^{-4}	5×10^{-4}
[%O]	3.23×10^{-4}	5.77×10^{-4}	3.30×10^{-3}

显然，当镧的含量超过一定极限时，发现在氧的活度下降的同时，氧的平衡浓度会随着提高，这与其它元素脱氧能力的文献

数据相符。其它稀土元素亦与此相似。应该指出，具有首要意义的不是氧的浓度，而是氧的活度，因为活度能说明氧在熔体中状态的特性，并能决定它在各种反应中的行为。稀土元素脱氧能力的比较表明，在这方面，它们是相似的。

上述寻求氧的亲和力的间接方法，也可以用于测定炼钢生产中所应用的具有化学活性的其它元素的脱氧能力。我们曾试图根据在 ZrO_2 及 BeO 烟道中加镧、

图 1-5 用铈、钴脱氧时的平衡常数与温度的关系

$$1 - \lg K'_{Zr} = - \frac{47500}{T} + 12.82;$$

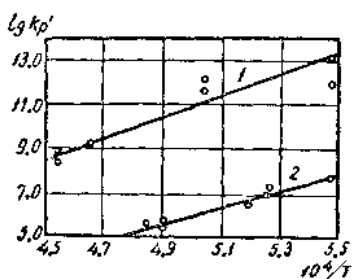
$$2 - \lg K'_{Co} = - \frac{40100}{T} + 14.15$$

铈熔炼铁的结果来估价铈和钴的脱氧能力。计算结果列于图 1-5。根据所获得的数据，确定了下列用铈及钴脱氧过程平衡常数与温度的关系：

$$K'_P = [a_{Co}] [a_O]; \quad \lg K'_{Co} = - \frac{40100}{T} + 14.15; \quad (12)$$

$$K'_P = [a_{Zr}] [a_O]^2; \quad \lg K'_{Zr} = - \frac{47500}{T} + 12.82. \quad (13)$$

应该指出，用镧或铈还原 BeO 的间接法所得到的脱氧能力的数据，是完全吻合的。



試驗結果表明，稀土元素是強烈的脫氧劑，比鋁及鎇❶更強。試驗結果與這些元素脫氧能力的熱力學計算完全吻合。

(譯自《Изв. Вузов. Черн. Металлургия》1963,
№ 5. 65—69 頁)

❶ 原文為 Церий 恐為 Цирконий 之誤。——譯者注

2. 稀土元素对氢在铁水中 溶解度的影响

(苏) А.М. Якушев, В.И. Явойский,
Ю.В. Кряковский

关于稀土元素对溶于钢中的气体(尤其是氢)的行为的影响问题,是关系到稀土元素在冶金中应用的最重要问题之一。从文献资料中已知稀土元素对这种气体有极大吸附能力。例如,在800°C下,铈能溶解14500毫升/100克氢,而镧则能溶解14300毫升/100克氢,约为同温度下氢在铁中溶解度的5700倍;在1200°C时铈所能溶解的氢为铁的660倍。因此,甚至在钢中加微量的稀土元素,也可望它会与溶解于钢中的氢相结合,从而消除氢的有害作用。

在镁合金中也发现稀土元素的类似作用,在这种合金中加少量的铈会促使铸件致密化,并消除铸件中的气孔。关于稀土元素对钢中氢的行为的影响方面,几乎没有实际的数据。从Н.С.Крещановский及其同事的报导中可知,在钢中加少量的铈可降低其氢含量70%以上。但这些数据尚需进一步验证。

因此,本文作者进行了关于铈和稀土元素(铈、镧、镨和钕)对氢在液态铁中溶解度影响的研究。

試驗方法

为了进行研究,制作了在原理上与В.И.Лакомский和В.И.Явойский¹使用的装置相同的装置(图2-1)。試驗是在系統中氢的压力为36—41毫米水銀柱的情况下进行的。将重80—90克的铁試样在置于石英反应器中的刚玉坩埚內,用高頻电流进行熔化。用預真空泵及水銀扩散泵从系統中将空气抽出并用

ВИТ-1型真空計检查所达到的真空度。金属的温度用 ОПИИР-09型光学高温计测量，其刻度按纯铁和镍的熔点定出。

借助于附有压力计的标准瓶测量通入系统中的氢的体积；此时误差为0.4%。

试验时，系统中的压力用准确度为0.05毫米水银柱的Мак-Лоид压缩式压力计测量。系统中设气压计管，以校正Мак-Лоид压力计，因为考虑到在测量时系统中的压力对压力计读数有影响（校正压力计的方法是：在测压时于压力计的水银柱高度上加上借助气压计管测得的系统中的压力。这样，根据测量50次以上的数据，便能繪制出校正曲线）。由于试验中的压力数值很重要，所以有必要进行这种校正。

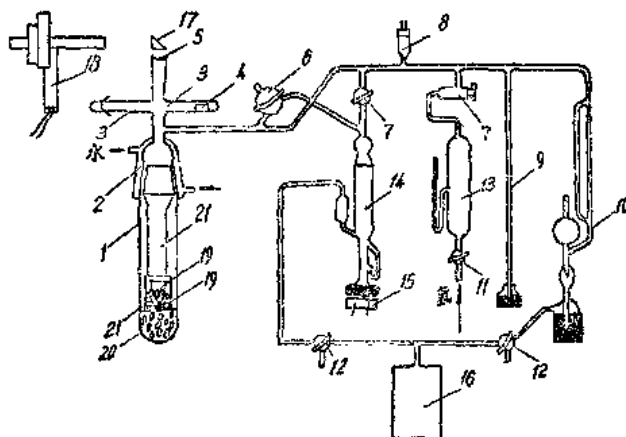


图 2-1 研究氢在液态铁及其合金中溶解度的装置图：

1—石英容器；2—反应器头部；3—为分配加入物的头部支管；4—磁性搅拌器；5—观察孔玻璃；6—装料阀门；7—真空阀门；8—压力计管；9—压力计管；10—Мак-Лоид 压力计；11—气道阀门；12—进气阀门；13—附有压力计的量筒瓶；14—水银折流管；15—扩散泵加热器；16—标准瓶；17—移液管；18—石英罩；19—光学高温计；20—压力计管；21—石英坩埚

众所周知，稀土元素在室温时已开始吸收氢。因此，设计了专门的装料阀门6，以便在熔炼过程中投进加入物时，避免它与

设备内的气氛长期接触（图 2-2）。当閥門 1 处在位置 I 时，通过閥門的支管 5 进行加料，将加入物置于《料箱》2 中。在位置 II 时，通过与扩散泵连接的支管 6 从《料箱》中抽去空气。在位置 III 时，加入物由《料箱》中倒出并落入设备中。当系統与閥門联接好，系統內压力降低很少（0.15毫米），这在計算时已作了考虑。为了在倒出加入物时避免料箱与閥門的密封油相接触，故它带有一根由金属箔制成的导管 3，并将閥門的支管 7 的底部加大。为了同样的目的，加入物是通过紙管 4 装入《料箱》的。

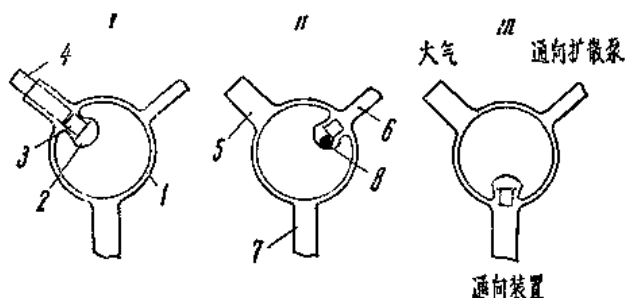


图 2-2 借装料閥門加合金剂的示意图

淨化由启普氏 (Киппа) 发生器中获得的氢，方法是：先使氢通过NaOH溶液、重鉻酸鉀的硫酸溶液、然后通过装有 P_2O_5 的吸收管、鈀催化剂，最后重新通过装有 P_2O_5 的吸收管。

試驗中使用了預先在真空中重熔并加0.03%碳，以及用0.03—0.04%鋁脫氧的阿姆克鐵。在真空中重熔后，鐵具有下列成份： $\leq 0.04\%$ C、0.014% Mn、Si 为痕迹、0.034% S、0.006% P、Cr 为痕迹、0.17% Ni、0.15% Cu 及 0.006—0.015% O。

开始时，将系統在冷状态下抽空至压力为 $5 - 6 \cdot 10^{-3}$ 毫米水銀柱。然后，继续抽空，并将金属逐渐加热至1000°C。当压力达到 $8 \cdot 10^{-3}$ 毫米水銀柱时，在热状态下用氢冲洗系統，因而縮短了預抽空的总时间。继续将系統抽空至压力 $5 - 6 \cdot 10^{-3}$ 毫米水銀柱。

后，再向系統內通入氢并熔化金属。氢在系統中靜置15—20分钟后从系統中抽出；此时熔融金属处于高真空中不超过3—5分钟。然后将金属冷却直到凝固，并繼續抽空15—20分钟。經過对鐵的这种处理，向系統內送入經測量过的氢，并将金属熔化到預定溫度，同时用Мак-Лойд压力計測量压力。在坩埚中建立了平衡压力后，必要时，可投入合金加入剂，每次加入后均使系統靜置到达新的平衡压力。

使用真空重熔的純鐵和上述脫氧法，便能促使液态金属在反应容器中进行真空处理的时间縮短到最少。这样便提高了試驗的准确度，因为降低了蒸發量和在坩埚壁及鐵屏上的凝結量。

为了驗証在设备中所获得的結果的可靠性，曾測定了氢在純鐵中的溶解度，并再一次地測定了硅对氢在液态鐵中溶解度的影响。

在已知的溫度及确定的最終压力 P_x 下溶于金属中的氢的体积可按下式計算：

$$S' = V_0 - \frac{P_x V_r}{760} \text{ 毫升}$$

其中 V_0 ——通入系統內的氢的体积（換算成标准状况下的体积）；

V_r ——系統在熱態下的体积。

氢的溶解度（換算成在压力为760毫米水銀柱下的100克鐵所吸收的体积）根据 S' 按下列方程式計算：

$$S_x = \frac{S' \cdot 100}{g} \sqrt{\frac{760}{P_x}} \text{ 毫升/100克}$$

其中 g ——一个金属重量。

为了测定裝置在液态下的体积，曾在氮的气氛中进行了鐵的熔化和在氮及氢的气氛中进行了鉬的熔化和加热。根据鉬和氮及鉬和氢測出的熱态体积实际上是相同的（在金属溫度为1160°C时，分别为716.5及712.5毫升；而 V_r 的数值則稍有差別，这显然是因鉬吸收氢較少所致）。因此，在測定 V_r 时氮是氢的最可貴的

代用品。同时，根据鉑来测定热态体积可得到較高的 V_r 值，因固态鉑較同溫度下熔融的鐵的热为少。

因此，应认为根据氢和熔融的鐵来测定热态体积是最正确的。在我们的試驗中，1560°C时所测出的热态体积为698.5毫升。所引用的 V_r 数据是测定7—9次的平均值。各 V_r 数值之間的差別不超过1%。按此 V_r 值求得在1560°C下氢在鐵中的溶解度为27.45毫升/100克（测定10次的平均值；溶解度的各个数据均在28.15—27.00毫升范围内）。根据借助于鉑和氢测得的 V_r 值計算出的溶解度为23.0毫升/100克。

为了确定硅对氢在鐵中的溶解度的影响，使用了在800—900°C下真空脱气的結晶硅。試驗結果与其它研究者所得的数据完全吻合。

上述情況証明裝置的工作是十分可靠的，从下面的檢驗也可得到进一步証实。在系統中确定了平衡压力后，我們在一定溫度下，在2—3小时内反复2—3次将金属冷却到結晶，而后又重新熔化。最后将金属加热到原始溫度，并在系統中建立最初的壓力。

研究中所采用的稀土元素是含25%和80%稀土元素（Ce、La、Pr、Nd）的鐵合金。合金預先在真空中重熔。此时，液态熔体在由 Al_2O_3 或 ZrO_2 制成的坩埚中，在 $7-5 \cdot 10^{-3}$ 水銀柱的負压及稍高于合金熔点的溫度下，靜置20—30分钟。然后将合金破碎成块，其块度以能通过加料閥門为准；这些合金块儲存于真空中。合金在加入試驗裝置中前，应先直接从真空容器中将它取出，然后用砂輪清理其表面。此外，在个别的試驗中，使用了含4—6%錫和銻的合金及在真空中熔化的鐵与米什合金的合金。

在一炉的熔炼过程中，往装有熔融鐵的坩埚內投入一种到四种合金加入剂。当加入剂投入坩埚时，金属表面被一层薄膜盖上（显然是氧化膜）。这就降低了測量金属溫度的准确度，有时甚至使測量不可能进行。在此情况下，曾采用了使发生器的工作制度保持在同一水平上的方法来使金属溫度不变。

已确定，生成的氧化膜并不会使氢的吸收和从金属中的逸出显著减慢。为了说明这一点，将发生器的功率稍稍降低；此时金属便会凝结，而且由于氢的逸出，使系统中的压力增加。最后，熔化金属，经过3—4分钟，系统中的压力便回复到原来的数据。

试验是在金属温度为1570—1595°C时进行的。总共进行了50炉以上。

研究结果

试验确定，在熔融的铁内加含铈和钕较低的合金（5.7%Ce和4.1%Nd）时，按计算并不会引起系统中压力的变化（此时，加在铁中的稀土元素已达0.1—0.15%）。

由图2-3 6、7、8可看出，在铁中加含镧、钕及铈量较高（80%）的合金时系统中氢的压力变化特性（图2-3和其它图上所示出的曲线图是含上述稀土元素炉号的典型曲线图）。在加入后最初1—3分钟内，系统中的压力稍有降低。随后，在15—30分的时间内，发现压力缓慢上升。与此同时，往铁中投入硅时，经2—4分钟后便建立了新的平衡压力。这一事实说明，在加稀土元素的情况下，与加入元素浓度提高有关的氢的溶解度降低，并不会引起压力的增加，压力的增加是由某种附加现象所引起的。

当加25%稀土元素的合金时，在两次加入之间，压力的增加并不显著，而在投入加入剂时经常不出现压力下降。

当加入剂为含80%稀土元素的合金时，每次往金属中投入0.4—0.8%稀土元素，而当加入剂为含25%稀土元素的合金时，则每次投入0.12—0.25%。

熔炼后对坩埚的检验表明，在熔炼时，坩埚与含有稀土元素的金属发生相互作用。为了说明坩埚在压力变化中的作用，曾在 ZrO_2 的坩埚中及在还原性气氛中焙烧过的 $Al_2O_3 + 1\% TiO_2$ 的坩埚中进行了熔炼。在这两种情况下，压力变化的特性仍与以前相同。